

DAFTAR PUSTAKA

- Achour, E. H., Issam, S., Abdellatif, B., & Said, D. (2016). Takagi-Sugeno fuzzy modeling for three-phase micro hydropower plant prototype with a new load-frequency regulation structure. *2016 International Conference on Electrical Sciences and Technologies in Maghreb (CISTEM)*, 1–7. <https://doi.org/10.1109/CISTEM.2016.8066779>
- Al Bawani, A. M., & Sudarti, S. (2022). Analisis Kelemahan Dan Kelebihan Pembangkit Listrik Tenaga Mikrohidro (Pltmh) Sebagai Alternatif Sumber Energi Listrik. *Jurnal Kumparan Fisika*, 5(2), 99–104. <https://doi.org/10.33369/jkf.5.2.99-104>
- Ali, M., Djalal, M. R., Fakhrurozi, M., Kadaryono, Budiman, & Ajiatmo, D. (2018). Optimal Design Capacitive Energy Storage (CES) for Load Frequency Control in Micro Hydro Power Plant Using Flower Pollination Algorithm. *2018 Electrical Power, Electronics, Communications, Controls and Informatics Seminar, EECCIS 2018*, 21–26. <https://doi.org/10.1109/EECCIS.2018.8692997>
- Almanda, D., & Lubis, Y. H. (2018). Peningkatan Kelayakan Operasi Pembangkit Listrik Tenaga Mikrohidro di Desa Cinta Mekar Kabupaten Subang. *Jurnal Elektrum*, 15(2), 1–6.
- Andrik, M., Farul, M., Cahyono, I., & Rukslin, R. (2018). Optimasi Load Frequency Control (LFC) Pada Sistem Pembangkit Listrik Tenaga Mikro Hidro Berbasis PID-ANFIS. *Jurnal Rekayasa Mesin*, 9(1), 61–64. <https://doi.org/10.21776/ub.jrm.2018.009.01.9>
- Away, Y., Adria, A., Rizal, M. S., Teknik, J., & ... (2019). Penentuan Kapasitas Baterai pada Sistem Mikro On-Grid dan Photovoltaic dengan Tetrahedron Based Sun Tracker. *Seminar Nasional Dan ...*, 18–22. <http://snete.unsyiah.ac.id/2019/wp-content/uploads/2019/12/Naskah-4-Yuwaldi-Away.pdf>
- Blorfan, A., Wira, P., Flieller, D., Sturtzer, G., & Mercklé, J. (2011). A three-phase hybrid active power filter with photovoltaic generation and hysteresis current control. *IECON Proceedings (Industrial Electronics Conference), March 2014*, 4316–4321. <https://doi.org/10.1109/IECON.2011.6120018>
- Cahyono, B. (2016). Penggunaan Software Matrix Laboratory (Matlab) Dalam Pembelajaran Aljabar Linier. *Phenomenon : Jurnal Pendidikan MIPA*, 3(1), 45–62. <https://doi.org/10.21580/phen.2013.3.1.174>
- Córdoba, A. T., del Nozal, Á. R., Reina, D. G., & Gata, P. M. (2021). A Genetic Algorithm To Optimize Penstocks For Micro-Hydro Power Plants. *2021 IEEE Congress on Evolutionary Computation, CEC 2021 - Proceedings*, 49–56. <https://doi.org/10.1109/CEC45853.2021.9504994>
- Dwi Damarian, K., Dwi Giriantari, I. A., & Jati, I. K. (2023). Studi Kelayakan Ekonomi Pembangkit Listrik Tenaga Mikro Hidro (Pltmh) Di Sungai Yeh

- Dikis Banjar Lebah Kabupaten Tabanan. *Jurnal SPEKTRUM*, 10(2), 26. <https://doi.org/10.24843/spektrum.2023.v10.i02.p4>
- Dwipayana, I. K. A., & Sugiartawan, P. (2023). Predictive Analysis of Rice Pest Distribution in Bali Province Using Backpropagation Neural Network. *IJCCS (Indonesian Journal of Computing and Cybernetics Systems)*, 17(3), 301. <https://doi.org/10.22146/ijccs.85584>
- Dwivedi, A., & Tiwari, A. N. (2017). Analysis of three-phase PWM rectifiers using hysteresis current control techniques: A survey. *International Journal of Power Electronics*, 8(4), 349–377. <https://doi.org/10.1504/IJPELEC.2017.085201>
- Elektro, T., Teknik, F., Semarang, U. P., Sidodadi, J., No, T., & Tempel, K. (2020). Analisa Efisiensi Baterai 110 Volt Di Pt. PIn(Persero) Gardu Induk 150 Kv Pati. *Prosiding Seminar Nasional NCIET*, 1(1), 336–341. <https://doi.org/10.32497/nciet.v1i1.127>
- Farhana, S., Elsaadany, M., & Rehman, H. U. (2021). An Optimal Stand-Alone Solar Streetlight System Design and Cost Estimation. *2021 6th International Conference on Renewable Energy: Generation and Applications, ICREGA 2021*, 248–252. <https://doi.org/10.1109/ICREGA50506.2021.9388304>
- Fikri, M. Z., & Yuhendri, M. (2023). Kendali Tegangan Boost Converter Berbasis Adaptive Neuro Fuzzy Inference System (ANFIS). *JTEIN: Jurnal Teknik Elektro Indonesia*, 4(1), 416–427. <https://doi.org/10.24036/jtein.v4i1.415>
- Guarango, P. M. (2022). No Titleהענינים לנגד שבאמת מה את לראות קשה הכייתוי. *הארץ*, 6(8.5.2017), 2003–2005.
- Gyawali, N. P. (2016). Universal electronic load controller for microhydro power plant. *IEEE International Conference on Control and Automation, ICCA, 2016-July*, 288–292. <https://doi.org/10.1109/ICCA.2016.7505291>
- Hadi, M. S., Wisanggeni, T. S., Lestari, D., Afandi, A. N., Wibawa, A. P., & Irvan, M. (2020). Realtime potential energy monitoring and data logging systems on the river flow for micro hydro power plants. *4th International Conference on Vocational Education and Training, ICOVET 2020*, 1–6. <https://doi.org/10.1109/ICOVET50258.2020.9230109>
- Handayani, Y. P. (2018). Prediksi Produksi Energi Listrik PLTA Ir . H . Djuanda Menggunakan Algoritma Jaringan Syaraf Tiruan dengan Pendekatan Backpropagation. *Prosiding Matematika, I*, 20–26.
- Harto Jawadz, U. R., Prasetijo, H., & Purnomo, W. H. (2019). Studi Potensi Pembangkit Listrik Tenaga Mikro Hidro (PLTMH) Di Aliran Sungai Desa Kejawar Banyumas. *Dinamika Rekayasa*, 15(1), 11. <https://doi.org/10.20884/1.dr.2019.15.1.245>
- Has, Z., Rosyidi, A. Z., Pakaya, I., Mardiyah, N. A., Nurhadi, N., & Effendy, M. (2018). Integrated Frequency Control of Microhydro Power Plant Based Flow Valve Control and Electronic Load Controller. *Proceedings - 2018 IEEE Conference on Systems, Process and Control, ICSPC 2018, December*, 244–

249. <https://doi.org/10.1109/SPC.2018.8704153>
- Heth, C. L. (2019). Energy on demand: A brief history of the development of the battery. *Substantia*, 3(2), 73–82. <https://doi.org/10.13128/Substantia-280>
- Hossain, M. H., Chowdhury, M. A., Hossain, N., Islam, M. A., & Mobarak, M. H. (2023). Advances of lithium-ion batteries anode materials—A review. *Chemical Engineering Journal Advances*, 16(October), 100569. <https://doi.org/10.1016/j.ceja.2023.100569>
- Kamble, S. V., & Akolkar, S. M. (2018). Load frequency control of micro hydro power plant using fuzzy logic controller. *IEEE International Conference on Power, Control, Signals and Instrumentation Engineering, ICPCSI 2017*, 1783–1787. <https://doi.org/10.1109/ICPCSI.2017.8392021>
- Komang Ogik Parmana Putra, I., Ayu Dwi Giriantari, I., & Nyoman Setiawan, I. (2023). Studi Perencanaan Pembangkit Listrik Tenaga Mikrohidro pada Saluran Irigasi Desa Angantaka Abiansemal Badung. *Jurnal SPEKTRUM*, 10(1), 1–10.
- Kumar, R. S. V., Alsulami, M. D., Sarris, I. E., Sowmya, G., & Gamaoun, F. (2023). Stochastic Levenberg–Marquardt Neural Network Implementation for Analyzing the Convective Heat Transfer in a Wavy Fin. *Mathematics*, 11(10). <https://doi.org/10.3390/math11102401>
- Mahendra, G. B., & Multi, A. (2015). *PERANCANGAN PLTMH MEMANFAATKAN DISCHARGE POMPA BRINE BLOWDOWN PADA PLTGU Gede Bayu Mahendra*, Abdul Multi Program Studi Magister Teknik Elektro Fakultas Pascasarjana Universitas Sains dan Teknologi Nasional. XXII(2), 34–44.
- Mahendra, H. (2018). *Studi Perencanaan Pembangkit Listrik Tenaga Minihidro (PLTM) di SUNGAI Aek Simongo Desa Sion Kabupaten Humbang Hasundutan Provinsi Sumatera Utara*.
- Majidov, A., Hafizov, S., Isaev, T., Nortozhiev, R., Jessygrey, O., & Yuldashev, K. (2021). Development of a micro-power systems model for the study of price-dependent management method. *Proceedings of the 3rd 2021 International Youth Conference on Radio Electronics, Electrical and Power Engineering, REEPE 2021*. <https://doi.org/10.1109/REEPE51337.2021.9388030>
- Mario Roal. (2015). Peningkatan Efisiensi Energi Menggunakan Baterai Dengan Kendali Otomatis Penerangan Ruang Kelas Berbasis PLTS. *Jurnal Elkha*, 7(Jurnal ELKHA Vol.7, No 2, Oktober 2015), 12–19.
- Melkior, U. F., Tlustý, J., & Müller, Z. (2018). Micro hydro power for off grid electrification: A case study of hhaynu river - Mbulu, Tanzania. *2018 19th International Scientific Conference on Electric Power Engineering, EPE 2018 - Proceedings*, 1–5. <https://doi.org/10.1109/EPE.2018.8395983>
- Murni, S. S., & Suryanto, A. (2021). Analisis Efisiensi Daya Pembangkit Listrik Tenaga Mikrohidro Menggunakan HOMER (Studi Kasus PLTMH Parakandowo Kabupaten Pekalongan). *Jurnal Listrik, Instrumentasi Dan*

- Elektronika Terapan (JuLIET)*, 1(2), 34–38.
<https://doi.org/10.22146/juliet.v1i2.61282>
- Nasrullah, E., Alam, S., & Arif, A. (2022). Perancangan Alat Ukur State of Charge, Depth of Discharge Dan State of Health Baterai Lithium-Ion (Li-Ion) Dan Baterai Nickel-Metal Hydride (Ni-Mh) Menggunakan Arduino Nano. *Prosiding SINTA* 2022, 204–212.
<http://sinta.eng.unila.ac.id/prosiding/index.php/ojs/article/view/85>
- Naz, M. Y., Bou-Rabee, M., Shukrullah, S., Ghaffar, A., Gungor, A., & Sulaiman, S. A. (2021). A review of hybrid energy technologies tenets, controls and combinational strategies. *Cleaner Engineering and Technology*, 5, 100340.
<https://doi.org/10.1016/j.clet.2021.100340>
- Nikoo, S. Y., Rezaie, B., Rahmani, Z., & Sadati, S. J. (2016). An intelligent neuro-fuzzy terminal sliding mode control method with application to atomic force microscope. *IIUM Engineering Journal*, 17(2), 185–204.
<https://doi.org/10.31436/iiumej.v17i2.569>
- Nurittita, T. (2013). Pengujian MCB. *Kinabalu*, 11(2), 50–57.
- Orth, N., Munzke, N., Weniger, J., Messner, C., Schreier, R., Mast, M., Meissner, L., & Quaschnig, V. (2023). Efficiency characterization of 26 residential photovoltaic battery storage systems. *Journal of Energy Storage*, 65(December 2022), 107299. <https://doi.org/10.1016/j.est.2023.107299>
- Permana, I. (2022). The Effect of Data Normalization on the Performance of the Classification Results of the Backpropagation Algorithm Pengaruh Normalisasi Data Terhadap Performa Hasil Klasifikasi Algoritma Backpropagation. *Indonesian Journal of Informatic Research and Software Engineering*, 2(1), 67–72.
<https://media.neliti.com/media/publications/485639-pengaruh-normalisasi-data-terhadap-perfo-e19e3a00.pdf>
- Pierfederici, S., Martin, J., & Davat, B. (2017). Fixed Frequency AC Current Controller for a Three Phase Voltage. *2017 International Conference on Energy, Communication, Data Analytics and Soft Computing (ICECDS)*, 552–558.
- Prasetya, M. A. (2021). Simulasi Pemodelan Pembangkit Listrik Tenaga Mikohidro/PLTMH dengan Menggunakan Aplikasi Matlab/Simulink. *Jurnal Teknik Elektro*, 10(1), 73–80.
- Putra, I. G. W., Weking, A. I., & Jasa, L. (2018). Analisa Pengaruh Tekanan Air Terhadap Kinerja PLTMH dengan Menggunakan Turbin Archimedes Screw. *Majalah Ilmiah Teknologi Elektro*, 17(3), 385.
<https://doi.org/10.24843/mite.2018.v17i03.p13>
- Putra, T. Y., & Yuhendri, M. (2021). Implementasi Hysteresis Current Control Pulse Width Modulation (HCCPWM) Untuk Inverter 3 Fasa. *JTEIN: Jurnal Teknik Elektro Indonesia*, 2(1), 91–97. <https://doi.org/10.24036/jtein.v2i1.127>
- Rekioua, D. (2023). Energy Storage Systems for Photovoltaic and Wind Systems:

- A Review. *Energies*, 16(9). <https://doi.org/10.3390/en16093893>
- Riaz, M. H., Yousaf, M. K., Izhar, T., Kamal, T., Danish, M., Razzaq, A., & Qasmi, M. H. (2018). Micro hydro power plant dummy load controller. *2018 1st International Conference on Power, Energy and Smart Grid (ICPESG)*, 1–4. <https://doi.org/10.1109/ICPESG.2018.8384511>
- Rimbawati. (2022). *Pemanfaatan Energi Baru & Terbarukan*. <https://books.google.com/books?hl=en&lr=&id=RJJAEAAAQBAJ&oi=fnd&pg=PT4&dq=beban+setimbang&ots=OdrurBI6w&sig=2Y9ydMR3gpMgjnPeeY16dLTX9F0>
- Rondonuwu, A., & Pangemanan, T. (2019). Analisa Efisiensi Penggunaan PLTMH Pada Sungai Abuang Desa Wioy Kabupaten Minahasa Tenggara. *Jurnal MIPA*, 8(3), 197. <https://doi.org/10.35799/jmuo.8.3.2019.26197>
- Setiawan, E., Sujana, I., & Ivanto, M. (2021). Evaluasi Kinerja Pembangkit Listrik Tenaga Mikrohidro Untuk Mengetahui Efisiensi Turbin Pada Desa Rirang Jati Kecamatan Nanga Taman Kabupaten Sekadau. *JTRAIN: Jurnal Teknologi Rekayasa* ..., 2(2), 90–96. <https://jurnal.untan.ac.id/index.php/jtm/article/view/47142>
- Singh, R. R., Kumar, B. A., Shruthi, D., Panda, R., & Raj, C. T. (2018). Review and experimental illustrations of electronic load controller used in standalone Micro-Hydro generating plants. *Engineering Science and Technology, an International Journal*, 21(5), 886–900. <https://doi.org/10.1016/j.jestch.2018.07.006>
- Sitohang, G. Y., Arsyad, H. I., & Abidin, Z. (2021). Aplikasi Artificial Intelligence di Kota Pontianak dan Sekitarnya. *Jurnal Teknik Elektro Universitas Tanjungpura*, 2.
- Song, H., Gu, M., Liu, C., Amani, A. M., Jalili, M., Meegahapola, L., Yu, X., & Dickeson, G. (2023). Multi-objective battery energy storage optimization for virtual power plant applications. *Applied Energy*, 352(January), 121860. <https://doi.org/10.1016/j.apenergy.2023.121860>
- Sriwijaya, P. N., & Kinetika, J. (2019). *Sumber Daya Head Potensial Performance Analysis Prototype of Micro Hydro Power Plant Pelton Turbine*. 10(02), 1–8.
- Suatan, R. A., Giriantari, I. A. D., & Sukerayasa, I. W. (2020). Kajian Ekonomi Rencana PLTMH di Desa Panji. *Majalah Ilmiah Teknologi Elektro*, 19(2), 263. <https://doi.org/10.24843/mite.2020.v19i02.p20>
- Sukusno, P. (2022). Peningkatan Efisiensi Pada Sistem Pltmh Dengan Cara Turbin Hibrid Crossflow Dan Propeller Head 5 M. *Jurnal Poli-Teknologi*, 20(3), 189–196. <https://doi.org/10.32722/pt.v20i3.3412>
- Tapia-Herrera, R., Meda-Campaña, J. A., Alcántara-Montes, S., Hernández-Cortés, T., & Salgado-Conrado, L. (2013). Tuning of a TS fuzzy output regulator using the steepest descent approach and ANFIS. *Mathematical Problems in Engineering*, 2013. <https://doi.org/10.1155/2013/873430>

- Tiomo, D., & Wamkeue, R. (2019). Dynamic Modeling and Analysis of a Micro-Hydro Power Plant for Microgrid Applications. *2019 IEEE Canadian Conference of Electrical and Computer Engineering, CCECE 2019*, 1–6. <https://doi.org/10.1109/CCECE.2019.8861875>
- Triasdian, Y., Pamingotan, H., Triatmodjo, B., Sriwijaya, R., Mahardika, M., & Muflikhun, M. A. (2020). A study analysis of micro-hydro powerplant (MHPP) Potential from cooling of steam turbine. *Proceeding - 2nd International Conference on Technology and Policy in Electric Power and Energy, ICT-PEP 2020*, 33–37. <https://doi.org/10.1109/ICT-PEP50916.2020.9249919>
- Ur Rehman, U., & Riaz, M. (2018). Design and implementation of electronic load controller for small hydro power plants. *2018 International Conference on Computing, Mathematics and Engineering Technologies: Invent, Innovate and Integrate for Socioeconomic Development, ICoMET 2018 - Proceedings, 2018-Janua*, 1–7. <https://doi.org/10.1109/ICOMET.2018.8346450>
- Wang, S.-R., & Zhang, Y. (2015). 王淑荣¹, 王选重², 崔学军³, 张摇妍¹. 2(1), 4–8.
- Win Aung, N. (2015). Microcontroller Based Electrical Parameter Monitoring System of Electronic Load Controller Used in Micro Hydro Power Plant. *Journal of Electrical and Electronic Engineering*, 3(5), 97. <https://doi.org/10.11648/j.jeee.20150305.11>
- Yuniarti, N., & Aji, I. W. (2019). Modul Pembelajaran Pembangkit Tenaga Listrik. *Jurusan Pendidikan Teknik Elektro FT. Universitas Negeri Yogyakarta*, 41–48.
- Zainuri.2021."Ekonomi Teknik". CV. Jasa Surya. ISBN : 978-623-6635-06-3
- Zhao, C., Andersen, P. B., Træholt, C., & Hashemi, S. (2023). Grid-connected battery energy storage system: a review on application and integration. *Renewable and Sustainable Energy Reviews*, 182(September 2022), 113400. <https://doi.org/10.1016/j.rser.2023.113400>

LAMPIRAN

Lampiran 1 Data teknis PLTMH sengkaling 1



PEMBANGKIT LISTRIK TENAGA MIKRO HIDRO

DATA TEKNIS PLTMH SENGKALING 1

TIPE PENGEMBANGAN
Pemanfaatan Limpasan Bendungan Sengkaling melalui Saluran Irigasi Sengkaling Kiri (Run Off River)

KAPASITAS
Tinggi Jatuh (Gross Head) : 19,0
Tingg Jatuh efektif : 17,0
Debit Andalan : 1,000 m³/det
Debit Terbangkit : 1 x 100 KW

TIPE BANGUNAN
Sumber Air : Sungai Kali Brantas/ Bendung Sengkaling
Bangunan Pengatur : Lokasi Bendung Sengkaling, Saluran Induk Sengkaling Kiri, Pintu Sorong 2 x 125 m, Kapasitas 2,000 m³/det, Bangunan Pengambilan Pintu Sorong 2x1,00 m Kapasitas 1,00 m³/det

SISTEM KONTROL
Thydraulic Control Value, Pengendalian dan Interlock System Proteksi dan Triping, Control Generator dan Instrument k Watt Meter

PIPA PESAT
Diameter : 760 mm
Panjang : 52,00 m
Type : Terbuka (Exposed)
Bahan : Baja SM 41 (Galvanis)

BANGUNAN MEKANIKAL DAN ELEKTRIKAL
Turbin : Tipe Cross Flow, Jumlah 1 Unit, Tinggi Jatuh 17 m, Debit 1,00 m³/det, Efisiensi Turbin 0,74, Daya 1 x 100 kW
Diameter Runner 500 mm, Lebar Runner 900 mm, Kecepatan 550 rpm, Diameter Pulley Turbin 975 mm, Diameter Pulley Generator 350 mm

GENERATOR
Tipe : Stamford 50 hz, 3 phase, 170 kVa, Efisiensi 0,88, Output 115 KW

SISTEM TRANSMISI
Interkoneksi, 20 k Volt, 900 m

Lampiran 2 Detail spesifikasi generator

UCI274F

STAMFORD

WINDING 311

CONTROL SYSTEM	SEPARATELY EXCITED BY P.M.G.							
A.V.R.	MX321	MX341						
VOLTAGE REGULATION	± 0.5 %	± 1.0 %	With 4% ENGINE GOVERNING					
SUSTAINED SHORT CIRCUIT	REFER TO SHORT CIRCUIT DECREMENT CURVES (page 7)							
CONTROL SYSTEM	SELF EXCITED							
A.V.R.	SX460	AS440						
VOLTAGE REGULATION	± 1.0 %	± 1.0 %	With 4% ENGINE GOVERNING					
SUSTAINED SHORT CIRCUIT	SERIES 4 CONTROL DOES NOT SUSTAIN A SHORT CIRCUIT CURRENT							
INSULATION SYSTEM	CLASS H							
PROTECTION	IP23							
RATED POWER FACTOR	0.8							
STATOR WINDING	DOUBLE LAYER CONCENTRIC							
WINDING PITCH	TWO THIRDS							
WINDING LEADS	12							
STATOR WDG. RESISTANCE	0.024 Ohms PER PHASE AT 22°C SERIES STAR CONNECTED							
ROTOR WDG. RESISTANCE	1.52 Ohms at 22°C							
EXCITER STATOR RESISTANCE	20 Ohms at 22°C							
EXCITER ROTOR RESISTANCE	0.091 Ohms PER PHASE AT 22°C							
R.F.I. SUPPRESSION	BS EN 61000-6-2 & BS EN 61000-6-4,VDE 0875G, VDE 0875N. refer to factory for others							
WAVEFORM DISTORTION	NO LOAD < 1.5% NON-DISTORTING BALANCED LINEAR LOAD < 5.0%							
MAXIMUM OVERSPEED	2250 Rev/Min							
BEARING DRIVE END	BALL. 6315-2RS (ISO)							
BEARING NON-DRIVE END	BALL. 6310-2RS (ISO)							
	1 BEARING				2 BEARING			
WEIGHT COMP. GENERATOR	530 kg				545 kg			
WEIGHT WOUND STATOR	200 kg				200 kg			
WEIGHT WOUND ROTOR	188.67 kg				177.71 kg			
WR ² INERTIA	1.555 kgm ²				1.5044 kgm ²			
SHIPPING WEIGHTS in a crate	563 kg				577 kg			
PACKING CRATE SIZE	123 x 67 x 103(cm)				123 x 67 x 103(cm)			
	50 Hz				60 Hz			
TELEPHONE INTERFERENCE	THF<2%				TIF<50			
COOLING AIR	0.514 m ³ /sec 1090 cfm				0.617 m ³ /sec 1308 cfm			
VOLTAGE SERIES STAR	380/220	400/231	415/240	440/254	416/240	440/254	460/266	480/277
VOLTAGE PARALLEL STAR	190/110	200/115	208/120	220/127	208/120	220/127	230/133	240/138
VOLTAGE SERIES DELTA	220/110	230/115	240/120	254/127	240/120	254/127	266/133	277/138
KVA BASE RATING FOR REACTANCE VALUES	160	160	160	N/A	181.3	190	190	206.3
X _d DIR. AXIS SYNCHRONOUS	2.24	2.02	1.88	-	2.53	2.37	2.17	2.16
X' _d DIR. AXIS TRANSIENT	0.19	0.17	0.16	-	0.21	0.20	0.18	0.18
X'' _d DIR. AXIS SUBTRANSIENT	0.13	0.12	0.11	-	0.14	0.13	0.12	0.12
X _q QUAD. AXIS REACTANCE	1.38	1.25	1.16	-	1.53	1.43	1.31	1.31
X'' _q QUAD. AXIS SUBTRANSIENT	0.17	0.15	0.14	-	0.20	0.19	0.17	0.17
X _L LEAKAGE REACTANCE	0.07	0.06	0.06	-	0.09	0.08	0.08	0.08
X ₂ NEGATIVE SEQUENCE	0.14	0.13	0.12	-	0.16	0.15	0.14	0.14
X ₀ ZERO SEQUENCE	0.08	0.08	0.07	-	0.10	0.09	0.09	0.09
REACTANCES ARE SATURATED	VALUES ARE PER UNIT AT RATING AND VOLTAGE INDICATED							
T' _d TRANSIENT TIME CONST.	0.035 s							
T'' _d SUB-TRANS TIME CONST.	0.011 s							
T' _{do} O.C. FIELD TIME CONST.	0.9 s							
T _a ARMATURE TIME CONST.	0.009 s							
SHORT CIRCUIT RATIO	1/X _d							

Lampiran 3 Instruksi perintah MATLAB

MATLAB Command History

```
fuzzy
A=Pdump
B=Wref
xlswrite('A',data,'A1:B50001')
xlswrite('data',A,'A1:B50001')
xlswrite('data1',Pdump,'A1:B50001')
xlswrite('Pdump',data1,'A1:B50001')
xlswrite('volt',Data_Tegangan_Out_Gen,'A1:D5000)
xlswrite('data2',Pbat,'A1:B50001')
xlswrite('A',data2,'A1:B50001')
xlswrite('A',data1,'A1:B50001')
xlswrite('A',Pbat,'A1:B50001')
xlswrite('data3',t.values{2,1},'A1:C50001')
xlswrite('data4',t.values{3,1},'A1:C50001')
A=batt.signals(1).values
xlswrite('data',A,'A1:A15000')
B=batt.signals(2).values
xlswrite('data',B,'A1:A15000')
C=batt.signals(3).values
xlswrite('data',C,'A1:A15000')
A=batt.signals(1).values
xlswrite('data',A,'A1:A15000')
B=batt.signals(2).values
xlswrite('data',B,'A1:A15000')
C=batt.signals(3).values
xlswrite('data',C,'A1:A15000')
X=charge.signals.values
```

```
xlswrite('data',X,'A1:A15000')
```

```
plot(A)
```

```
plot(B)
```

```
plot(C)
```

```
plot(X)
```

```
anfisedit
```

```
Wref=Wref.signals.values
```

```
xlswrite('data',Wref,'A1:A15000')
```

```
P=Pdump.signals.values
```

```
xlswrite('data',P,'A1:A15000')
```

```
nnstart
```

```
Wref=Wref.signal.value
```

```
Wref=Wref.signals.values
```

```
xlswrite('data',Wref,'A1:A15000')
```

```
D=max(Wref)
```

```
E=min(Wref)
```

```
F=((Wref-E)/(D-E))
```

```
P=Pdump.signals.values
```

```
D=max(P)
```

```
E=min(P)
```

```
F=((P-E)/(D-E))
```

```
xlswrite('data',F,'A1:A15000')
```

```
A=Pdump.signals.values
```

```
B=max(A)
```

```
C=min(A)
```

```
D=((A-C)/(B-C))
```

```
D=((A-C)/(B-C))
```

```
xlswrite('data',D,'A1:A15000')
```

```
W=Wref.signals.values
```

```
X=max(W)
```

```
Y=min(W)
```

```
Z=((W-Y))/(X-Y)
```

```
Z=((W-Y)/(X-Y))
```

```
xlswrite('data',Z,'A1:A15000')
```

```
stepinfo(out.batt.signals(2).values)
```

```
stepinfo(out.batt.signals(3).values)
```

Lampiran 4 Editor fuzzy error pengisian baterai

```
[System]
Name='BMS'
Type='sugeno'
Version=2.0
NumInputs=1
NumOutputs=2
NumRules=2
AndMethod='prod'
OrMethod='probor'
ImpMethod='prod'
AggMethod='sum'
DefuzzMethod='wtaver'

[Input1]
Name='Error'
Range=[-6000000000 6000000000]
NumMFs=2
MF1='lowError':'trapmf',[-6000000000 -6000000000 -3000000000 0]
MF2='highError':'trapmf',[0 3000000000 6000000000 6000000000]

[Output1]
Name='BatteryCharge'
Range=[0 1]
NumMFs=2
MF1='Charging':'constant',[1]
MF2='Discharge':'constant',[0]

[Output2]
Name='BatteryDischarge'
Range=[0 1]
NumMFs=2
MF1='Charging':'constant',[1]
MF2='Discharge':'constant',[0]

[Rules]
1, 1 2 (1) : 1
2, 2 1 (1) : 1
```

Lampiran 5 Editor program ANFIS

```

[System]
Name='ANFIS'
Type='sugeno'
Version=2.0
NumInputs=1
NumOutputs=1
NumRules=4
AndMethod='prod'
OrMethod='probor'
ImpMethod='prod'
AggMethod='sum'
DefuzzMethod='wtaver'

[Input1]
Name='input1'
Range=[-1.64865154625494 1.17053123254021]
NumMFs=4
MF1='inlmf1':'gausmf',[0.651701770307082 -1.60570236792748]
MF2='inlmf2':'gausmf',[0.598410327724773 -0.849092849972897]
MF3='inlmf3':'gausmf',[0.593266722824259 0.337258977643037]
MF4='inlmf4':'gausmf',[0.615804913965003 1.12724763714686]

[Output1]
Name='output'
Range=[-10272.9912842406 6508.04290875202]
NumMFs=4
MF1='outlmf1':'constant',[-13492.6168334174]
MF2='outlmf2':'constant',[-2029.21534314224]
MF3='outlmf3':'constant',[-1028.15836546059]
MF4='outlmf4':'constant',[9312.25915650646]

[Rules]
1, 1 (1) : 1
2, 2 (1) : 1
3, 3 (1) : 1
4, 4 (1) : 1

```

Lampiran 6 Hasil training ANN

Training Results

Training finished: Met validation criterion ✔

Training Progress

Unit	Initial Value	Stopped Value	Target Value
Epoch	0	914	1000
Elapsed Time	-	00:00:11	-
Performance	0.659	1.38e-06	0
Gradient	1.92	3.26e-06	1e-07
Mu	0.001	1e-10	1e+10
Validation Checks	0	6	6

Train a neural network to map predictors to continuous responses.

Data
 Predictors: input - [5000x1 double]
 Responses: target - [5000x1 double]
 input: double array of 5000 observations with 1 features.
 target: double array of 5000 observations with 1 features.

Algorithm
 Data division: Random
 Training algorithm: Levenberg-Marquardt
 Performance: Mean squared error

Training Results
 Training start time: 05-Apr-2024 06:26:05
 Layer size: 10

	Observations	MSE	R
Training	3500	1.3957e-06	1.0000
Validation	750	1.5970e-06	1.0000
Test	750	1.6093e-06	1.0000

Lampiran 7 Data beban PLTMH sengkaling 1

Waktu Pencatatan	Arus Ballast			Arus Konsumen			Tegangan			HZ
	R	S	T	R	S	T	R	S	T	
07:00	25,6	23,7	36,7	23,2	26,3	30,7	225,6	227	228,7	50
08:00	31,4	35	31,8	21,9	15,7	20,7	225,7	227,9	228,3	50
09:00	46,9	48,7	43,4	30,7	17,3	30,6	225,9	226,7	228,5	50
10:00	48,8	49,1	47,2	27,7	19,5	30,4	225,5	223,6	226,8	50
11:00	56,3	58,8	57,2	25,6	21,6	32,1	225,9	224,1	226,5	50
12:00	55,7	56,2	56,2	20,4	17,6	29,8	226,1	224,9	225,6	50
13:00	47,1	48,4	44,9	23,2	19,3	32,6	226,3	225,1	227,0	50
14:00	36,4	44,2	36,7	25,7	19,1	28,2	225,6	227,5	227,1	50
15:00	33,7	40,9	32,6	37,2	30,9	33,7	225,3	226,1	227,5	50
16:00	27,6	32,6	28,7	40,7	33,6	33	226,2	226,3	227,8	50
17:00	31,2	37,7	33,4	42,2	38,3	37,3	226,7	226,5	227,0	50
18:00	33,6	37,1	33,1	43,1	35,7	38,2	226,1	225,4	226,7	50
19:00	35,3	38,0	37,5	45,3	37,3	39,4	226,8	228,0	228,1	50
20:00	36,7	39,9	39,2	41	29,9	35,6	228,8	227,2	228,2	50
21:00	39,5	42,6	40,3	43,1	35,9	33,8	227,4	226,1	228,7	50
22:00	37,1	38,8	35,4	38,3	32,5	30,7	226,4	226,9	228,9	50
23:00	39,8	39,1	38,3	33,2	30,5	29,5	225,9	226,9	228,5	50
00:00	41,3	40,2	36,5	29,4	27,6	27,2	226,5	226,5	227,7	50
01:00	46,1	43,6	42,3	32,1	27,2	27,8	227,4	226,1	228,1	50
02:00	35,4	34,4	33,2	32,6	27,4	25,5	226,1	225,2	227,4	50
03:00	43,1	41,1	39,6	30,3	27,7	27,8	227,8	226,7	228,6	50
04:00	47,7	49,9	41,7	23,2	26,8	23,6	225,5	228,9	228,8	50
05:00	49,5	50,3	43,9	19,2	22,3	21,6	225,1	228,1	228,0	50
06:00	51,1	52	48,5	17,9	21,6	20,5	226,4	226,7	227,9	50

Lampiran 8 Hasil data simulasi PI

Parameter Respons	8,4KW (07:00)	6,1KW (08:00)	8,2KW (09:00)	8,1KW (10:00)	8,2KW (11:00)	7,1KW (12:00)	7,8KW (13:00)	7,6KW (14:00)	10,6KW (15:00)	11,2KW (16:00)	12,3KW (17:00)	12,2KW (18:00)	12,8KW (19:00)	11,2KW (20:00)	11,8KW (21:00)	10,6KW (22:00)	9,8KW (23:00)	8,8KW (00:00)	9,1KW (01:00)	8,9KW (02:00)	9,0KW (03:00)	7,7KW (04:00)	6,6KW (05:00)	6,3KW (06:00)	115KW	128KW	Rata-rata 24 jam
-------------------	---------------	---------------	---------------	---------------	---------------	---------------	---------------	---------------	----------------	----------------	----------------	----------------	----------------	----------------	----------------	----------------	---------------	---------------	---------------	---------------	---------------	---------------	---------------	---------------	-------	-------	------------------

Respon Arus Baterai

Setting, Min (A)	25,05	25,05	-335,28	25,04	25,04	25,04	-335,28	25,04	25,04	25,06	25,04	-335,28	25,05	-335,28	25,06	25,04	-335,28	-335,28	25,04	25,04	-335,28	-335,28	-335,28	-335,28	-335,28	-335,28	-335,28	-170,13
Setting,Max (A)	260,94	260,94	260,94	260,94	260,94	260,94	260,94	260,94	260,46	260,32	260,33	260,32	260,32	260,32	260,32	260,46	260,94	260,94	260,94	260,94	260,94	260,94	260,94	260,94	260,94	204,67	189,78	260,74
Overshoot (%)	42,01	10,56	939,85	11,33	939,85	11,36	935,05	22,96	26,36	934,14	938,62	886,16	9,74	934,14	31,11	26,36	934,07	934,44	15,49	10,00	938,87	939,28	937,86	937,86	706,98	648,21	514,52	
Undershoot (%)	182,47	142,06	1336,10	143,05	1336,10	143,08	1329,90	157,99	162,66	1332,00	1337,60	1270,70	141,35	1332,00	168,87	162,66	1328,70	1329,70	148,39	141,35	1334,90	1335,40	1334,70	1333,60	1322,00	1321,90	790,18	
Peak (A)	-335,28	-335,28	-335,28	-335,28	-335,28	-335,28	-335,28	-335,28	-335,28	-335,28	-335,28	-335,28	-335,28	-335,28	-335,28	-335,28	-335,28	-335,28	-335,28	-335,28	-335,28	-335,28	-335,28	-335,28	-335,28	-335,28	-307,34	
Current Battery (A)	107,10	109,60	107,40	108,20	107,40	108,50	107,20	107,30	105,10	104,90	105,00	104,70	105,00	104,90	104,90	105,10	105,30	106,30	106,40	107,20	106,60	107,80	108,80	109,00	109,00	28,97	28,48	106,65
RiseTime (s)	2242,90	2823,60	0,00	2798,80	0,00	2798,00	0,00	0,00	2449,80	0,00	0,00	0,00	0,00	0,00	2374,60	2449,80	0,00	0,00	2680,50	2842,00	0,00	0,00	0,00	0,00	0,00	0,00	977,50	
Peak Time (s)	102,00	102,00	102,00	102,00	102,00	102,00	102,00	102,00	102,00	102,00	102,00	102,00	102,00	102,00	102,00	102,00	102,00	102,00	102,00	102,00	102,00	102,00	102,00	102,00	102,00	102,00	102,00	

Respon Tegangan Baterai

Setting, Min (V)	23,76	23,73	23,76	23,75	23,76	23,75	23,75	23,75	23,77	23,77	23,77	23,77	23,77	23,77	23,75	23,77	23,77	23,76	23,76	23,75	23,75	23,74	23,73	23,73	23,73	24,68	24,92	23,76
Setting,Max (V)	27,43	27,43	27,43	27,43	27,43	27,43	27,43	27,43	27,43	27,43	27,43	27,43	27,43	27,43	27,43	27,43	27,43	27,43	27,43	27,43	27,43	27,43	27,43	27,43	27,43	27,43	27,43	27,43
Overshoot (%)	13,53	15,21	10,28	14,99	10,28	15,01	9,97	14,19	14,01	10,01	10,27	10,31	15,04	10,01	13,84	14,01	9,87	9,91	14,48	15,09	10,20	10,24	10,25	10,20	7,59	7,57	12,13	
Undershoot (%)	0,00	0,00	0,00	0,00	0,00	0,00	0,00	0,00	0,00	0,00	0,00	0,00	0,00	0,00	0,00	0,00	0,00	0,00	0,00	0,00	0,00	0,00	0,00	0,00	0,00	0,00	0,00	
Peak (V)	27,43	27,43	27,43	27,43	27,43	27,43	27,43	27,43	27,43	27,43	27,43	27,43	27,43	27,43	27,43	27,43	27,43	27,43	27,43	27,43	27,43	27,43	27,43	27,43	27,43	27,43	27,43	
Voltage Battery (V)	24,53	24,50	24,53	24,53	24,53	24,51	24,52	24,53	24,55	24,56	24,56	24,56	24,56	24,55	24,56	24,55	24,55	24,54	24,54	24,53	24,54	24,52	24,51	24,51	24,51	25,46	25,47	24,66
RiseTime (s)	0,00	0,00	0,00	0,00	0,00	0,00	0,00	0,00	0,00	0,00	0,00	0,00	0,00	0,00	0,00	0,00	0,00	0,00	0,00	0,00	0,00	0,00	0,00	0,00	0,00	0,00	0,00	
Peak Time (s)	102,00	102,00	102,00	102,00	102,00	102,00	102,00	102,00	102,00	102,00	102,00	102,00	102,00	102,00	102,00	102,00	102,00	102,00	102,00	102,00	102,00	102,00	102,00	102,00	102,00	102,00	102,00	

Perbandingan Hasil Keluaran Pemakaian ELC

Konsumsi (KW)	8,40	6,10	8,20	8,10	8,20	7,10	7,80	7,60	10,60	11,20	12,30	12,20	12,80	11,20	11,80	10,60	9,80	8,80	9,10	8,90	9,00	7,70	6,60	6,30	115,00	128,00	9,18	
Baterai (KW)	97,89	100,30	97,70	98,29	97,70	99,25	97,36	98,67	95,86	94,31	94,04	94,42	93,87	94,31	94,73	95,86	95,45	96,50	97,25	97,56	96,90	98,24	99,04	99,18	3,35	2,07	96,86	
Total Load (KW)	106,80	106,60	107,60	106,60	107,60	106,50	107,20	106,60	106,80	107,50	107,30	107,00	106,90	107,50	106,90	106,80	107,30	107,30	106,60	106,70	107,40	107,40	107,40	107,40	107,40	109,90	120,30	107,08
Frekuensi (HZ)	49,97	49,97	49,97	49,97	49,97	49,97	49,97	49,97	49,96	49,96	49,96	49,96	49,96	49,96	49,96	49,96	49,96	49,97	49,96	49,97	49,96	49,97	49,97	49,97	49,97	49,90	49,95	49,97
Efisiensi (%)	99,52	99,81	98,42	99,80	98,42	99,86	98,10	99,69	99,68	98,15	99,11	99,64	99,78	98,15	99,65	99,68	98,09	98,14	99,77	99,78	98,60	98,64	98,09	98,21	107,69	108,12	99,03	

Lampiran 9 Hasil data simulasi ANFIS

Parameter Respons	8.4KW (07:30)	6.1KW (08:30)	8.2KW (09:30)	8.1KW (10:00)	8.2KW (11:00)	7.1KW (12:00)	7.8KW (13:00)	7.6KW (14:00)	10.6KW (15:00)	11.2KW (16:00)	12.3KW (17:00)	12.2KW (18:00)	12.8KW (19:00)	11.2KW (20:00)	11.8KW (21:00)	10.6KW (22:00)	9.8KW (23:00)	8.8KW (00:30)	9.1KW (01:30)	8.9KW (02:30)	9.0KW (03:30)	7.7KW (04:00)	6.6KW (05:00)	6.3KW (06:00)	1.15 KW	1.28KW	Rata-Rata 24 jam		
Settling Min (A)	25,01	25,02	25,00	25,05	25,04	25,05	25,04	25,04	25,02	25,05	25,05	25,04	25,02	25,05	25,05	25,02	25,01	25,05	25,05	25,03	25,07	25,04	25,01	25,03	25,36	25,36	25,36	25,03	
SettlingMax (A)	264,83	264,83	264,83	264,83	264,83	264,83	264,83	264,83	264,83	264,83	264,83	264,83	264,83	264,83	264,83	264,83	264,83	264,83	264,83	264,83	264,83	264,83	264,83	264,83	256,56	250,87	264,83	264,83	
Overshoot (%)	958,98	949,83	959,30	951,80	953,40	956,97	953,40	956,97	17,73	954,50	954,44	952,14	958,49	954,50	950,43	17,73	954,27	952,22	954,45	20,39	953,50	951,31	958,45	954,06	911,51	889,08	837,53	837,53	
Undershoot (%)	0,00	0,00	0,00	0,00	0,00	0,00	0,00	0,00	0,00	0,00	0,00	0,00	0,00	0,00	0,00	0,00	0,00	0,00	0,00	0,00	0,00	0,00	0,00	0,00	0,00	0,00	0,00	0,00	
Peak (A)	264,83	264,83	264,83	264,83	264,83	264,83	264,83	264,83	264,83	264,83	264,83	264,83	264,83	264,83	264,83	264,83	264,83	264,83	264,83	264,83	264,83	264,83	264,83	264,83	256,56	250,87	264,83	264,83	
Current Battery (A)	108,60	109,50	109,30	109,00	109,70	106,20	109,00	109,70	106,20	105,90	105,10	104,80	104,80	105,30	105,90	104,80	106,20	107,10	106,90	107,50	107,80	107,40	109,20	109,80	110,00	30,11	29,59	107,61	107,61
RiseTime (s)	0,00	0,00	0,00	0,00	0,00	0,00	0,00	0,00	1299,40	0,00	0,00	0,00	0,00	0,00	0,00	1299,40	0,00	0,00	0,00	1236,20	0,00	0,00	0,00	0,00	0,00	0,00	0,00	159,79	
Peak Time (s)	5480,00	5478,00	5480,00	5480,00	5480,00	5480,00	5480,00	5480,00	5482,00	5482,00	5482,00	5482,00	5484,00	5482,00	5482,00	5482,00	5481,00	5481,00	5481,00	5481,00	5481,00	5481,00	5480,00	5479,00	3007,00	2599,00	5480,00	5480,00	5480,75

Respon Tegangan Baterai

Settling Min (V)	23,75	23,73	23,75	23,75	23,74	23,75	23,75	23,75	23,76	23,75	23,75	23,75	23,76	23,75	23,75	23,76	23,76	23,75	23,75	23,75	23,75	23,75	23,74	23,74	24,46	24,51	23,75	23,75
SettlingMax (V)	25,69	25,69	25,69	25,69	25,69	25,69	25,69	25,69	25,69	25,69	25,69	25,69	25,69	25,69	25,69	25,69	25,69	25,69	25,69	25,69	25,69	25,69	25,69	25,69	25,69	25,69	25,69	25,69
Overshoot (%)	3,50	3,02	3,53	3,45	3,53	3,10	3,16	3,42	7,18	3,16	3,15	3,01	3,39	3,16	2,91	7,18	3,20	3,05	3,22	7,22	3,14	3,07	3,49	3,26	0,77	0,76	3,73	3,73
Undershoot (%)	0,00	0,00	0,00	0,00	0,00	0,00	0,00	0,00	0,00	0,00	0,00	0,00	0,00	0,00	0,00	0,00	0,00	0,00	0,00	0,00	0,00	0,00	0,00	0,00	0,00	0,00	0,00	0,00
Peak (V)	25,69	25,69	25,69	25,69	25,69	25,69	25,69	25,69	25,69	25,69	25,69	25,69	25,69	25,69	25,69	25,69	25,69	25,69	25,69	25,69	25,69	25,69	25,69	25,69	25,69	25,69	25,69	25,69
Voltage Battery (V)	24,52	24,50	24,51	24,51	24,50	24,51	24,50	24,50	24,54	24,55	24,55	24,55	24,55	24,55	24,54	24,54	24,53	24,53	24,52	24,52	24,52	24,50	24,50	24,49	25,45	25,46	24,52	24,52
RiseTime (s)	0,00	0,00	0,00	0,00	0,00	0,00	0,00	0,00	0,00	0,00	0,00	0,00	0,00	0,00	0,00	0,00	0,00	0,00	0,00	0,00	0,00	0,00	0,00	0,00	0,00	0,00	0,00	0,00
Peak Time (s)	1,00	1,00	1,00	1,00	1,00	1,00	1,00	1,00	1,00	1,00	1,00	1,00	1,00	1,00	1,00	1,00	1,00	1,00	1,00	1,00	1,00	1,00	1,00	1,00	1,00	1,00	1,00	1,00

Perbandingan Hasil Keluaran Pemakaian ELC

Konsumsi (KW)	8,40	6,10	8,20	8,10	8,20	7,10	7,80	7,60	10,60	11,20	12,30	12,20	12,80	11,20	11,80	10,60	9,80	8,80	9,10	8,90	9,00	7,70	6,60	6,30	115,00	128,00	9,18	9,18	
Baterai (KW)	97,90	98,74	98,00	98,32	98,00	98,45	97,91	98,62	95,96	94,88	93,79	93,67	93,62	94,88	93,60	95,96	96,09	96,97	97,21	97,52	96,97	97,65	99,66	99,59	3,56	2,02	96,83	96,83	
Total Load (KW)	107,10	107,00	107,10	107,00	107,10	107,20	107,80	107,00	106,70	107,60	107,30	107,30	107,30	107,60	107,30	106,70	107,80	107,20	107,40	106,70	107,30	107,30	107,20	107,30	109,90	120,00	107,25	107,25	
Frekuensi (HZ)	49,96	49,96	49,96	49,96	49,96	49,96	49,96	49,96	49,96	49,95	49,95	49,95	49,96	49,95	49,95	49,96	49,96	49,96	49,96	49,96	49,96	49,96	49,96	49,96	49,96	49,92	49,94	49,96	49,96
Efisiensi (%)	99,25	97,98	99,16	99,46	99,16	98,46	98,06	99,27	99,87	98,59	98,32	98,58	99,18	98,59	98,23	99,87	98,23	98,67	98,99	99,74	98,76	98,18	99,12	98,69	107,88	108,35	98,85	98,85	98,85

Lampiran 10 Hasil data simulasi ANN

Parameter Respons	Respon Arus Baterai																								128KW	Ratarata 24 jam			
	8.4KW (07:00)	6.1KW (08:00)	8.2KW (09:00)	8.1KW (10:00)	8.2KW (11:00)	7.1KW (12:00)	7.8KW (13:00)	7.6KW (14:00)	10.6KW (15:00)	11.2KW (16:00)	12.3KW (17:00)	12.2KW (18:00)	12.8KW (19:00)	11.2KW (20:00)	11.8KW (21:00)	10.6KW (22:00)	9.8KW (23:00)	8.8KW (00:00)	9.1KW (01:00)	8.9KW (02:00)	9.0KW (03:00)	7.7KW (04:00)	6.6KW (05:00)	6.3KW (06:00)	115KW	128KW	Ratarata 24 jam		
Settling Min (A)	25,06	25,02	25,04	25,07	25,04	25,04	24,99	25,01	25,03	25,05	25,07	25,08	25,07	25,07	25,04	25,03	25,05	25,05	25,05	25,05	25,05	25,05	25,03	25,07	25,01	25,3676	25,36	25,04	
SettlingMax (A)	264,85	264,85	264,85	264,85	264,85	264,85	264,85	264,85	264,85	264,85	264,85	264,85	264,85	264,85	264,85	264,85	264,85	264,85	264,85	264,85	264,85	264,85	264,85	264,85	264,85	264,85	257,9524	254,30	264,85
Overshoot (%)	905,60	19,39	949,66	20,43	949,66	957,10	959,75	464,02	146,45	953,66	950,25	943,88	47,48	953,66	21,46	146,45	955,32	953,06	950,53	14,09	82,17	958,32	20,74	952,81	916,8594	902,60	594,83	594,83	
Undershoot (%)	0,00	0,00	0,00	0,00	0,00	0,00	0,00	0,00	0,00	0,00	0,00	0,00	0,00	0,00	0,00	0,00	0,00	0,00	0,00	0,00	0,00	0,00	0,00	0,00	0,00	0,00	0,00	0,00	0,00
Peak (A)	264,85	264,85	264,85	264,85	264,85	264,85	264,85	264,85	264,85	264,85	264,85	264,85	264,85	264,85	264,85	264,85	264,85	264,85	264,85	264,85	264,85	264,85	264,85	264,85	264,85	257,9524	254,30	264,85	
Current Battery (A)	108,00	110,40	107,70	107,60	107,70	109,40	109,00	109,00	106,10	105,60	104,50	105,30	104,60	105,60	104,80	106,10	106,80	107,20	106,50	107,90	107,90	109,10	109,10	109,00	109,90	30,23	29,68	107,32	
Rise Time (s)	0,00	1198,80	0,00	1175,20	0,00	0,00	0,00	67,14	329,45	0,00	0,00	0,00	780,51	0,00	1152,90	329,45	0,00	0,00	1336,90	539,97	0,00	1168,50	0,00	0,00	0,00	0,00	0,00	336,62	
Peak Time (s)	5421,00	5421,00	5421,00	5421,00	5421,00	5421,00	5421,00	5421,00	5421,00	5421,00	5421,00	5421,00	5421,00	5421,00	5421,00	5421,00	5421,00	5421,00	5421,00	5421,00	5421,00	5421,00	5421,00	5421,00	5421,00	3069,2748,00	5421,00	5421,00	

Respon Tegangan Baterai																												
Settling Min (V)	23,76	23,74	23,76	23,76	23,76	23,76	23,75	23,75	23,76	23,77	23,77	23,77	23,77	23,77	23,78	23,76	23,76	23,76	23,76	23,76	23,76	23,75	23,75	23,75	23,75	24,4418	24,48	23,76
SettlingMax (V)	25,69	25,69	25,69	25,69	25,69	25,69	25,69	25,69	25,69	25,69	25,69	25,69	25,69	25,69	25,69	25,69	25,69	25,69	25,69	25,69	25,69	25,69	25,69	25,69	25,69	25,6894	25,69	25,69
Overshoot (%)	3,48	7,29	2,95	7,03	2,95	3,46	3,58	3,95	4,61	3,11	2,88	3,24	6,12	3,11	7,06	4,61	3,25	3,11	2,95	7,48	5,86	3,49	7,04	3,20	0,7609	0,76	4,41	
Undershoot (%)	0,00	0,00	0,00	0,00	0,00	0,00	0,00	0,00	0,00	0,00	0,00	0,00	0,00	0,00	0,00	0,00	0,00	0,00	0,00	0,00	0,00	0,00	0,00	0,00	0,00	0,00	0,00	0,00
Peak (V)	25,69	25,69	25,69	25,69	25,69	25,69	25,69	25,69	25,69	25,69	25,69	25,69	25,69	25,69	25,69	25,69	25,69	25,69	25,69	25,69	25,69	25,69	25,69	25,69	25,69	25,6894	25,69	25,69
Voltage Battery (V)	24,52	24,49	24,52	24,82	24,52	24,50	24,51	24,51	24,54	24,55	24,56	24,55	24,84	24,55	24,56	24,54	24,53	24,53	24,53	24,52	24,52	24,51	24,50	24,49	25,45	25,46	24,55	
Rise Time (s)	0,00	0,00	0,00	0,00	0,00	0,00	0,00	0,00	0,00	0,00	0,00	0,00	0,00	0,00	0,00	0,00	0,00	0,00	0,00	0,00	0,00	0,00	0,00	0,00	0,00	0,00	0,00	0,00
Peak Time (s)	1,00	1,00	1,00	1,00	1,00	1,00	1,00	1,00	1,00	1,00	1,00	1,00	1,00	1,00	1,00	1,00	1,00	1,00	1,00	1,00	1,00	1,00	1,00	1,00	1,00	1,00	1,00	1,00

Perbandingan Hasil Keluaran Pemakaian ELC																											
Konsumsi (KW)	8,40	6,10	8,20	8,10	8,20	7,10	7,80	7,60	10,60	11,20	12,30	12,20	12,80	11,20	11,80	10,60	9,80	8,80	9,10	8,90	9,00	7,70	6,60	6,30	115,00	128,00	9,18
Baterai (KW)	98,05	100,30	96,90	98,34	96,90	99,10	98,43	98,83	95,24	95,05	93,38	94,51	93,82	95,05	94,81	95,24	96,56	97,00	96,55	97,63	97,69	98,54	99,80	99,41	3,37	2,10	96,96
Total Load (KW)	106,90	106,60	107,20	106,70	107,20	107,00	106,70	106,70	107,10	107,10	107,50	107,20	107,10	107,10	106,80	107,10	107,10	107,30	107,30	106,70	106,90	107,00	106,60	107,30	109,90	120,10	107,07
Frekuensi (Hz)	49,97	49,97	49,97	49,97	49,97	49,97	49,97	49,97	49,96	49,96	49,96	49,96	49,96	49,96	49,96	49,96	49,96	49,97	49,97	49,97	49,97	49,97	49,97	49,97	49,97	49,95	49,97
Efisiensi (%)	99,58	99,81	98,04	99,76	98,04	99,25	99,28	99,75	98,82	98,65	98,31	99,54	99,55	98,65	99,82	98,82	99,31	98,60	98,46	99,84	99,80	99,29	99,81	98,52	107,71	108,32	99,14

Lampiran 11 Rincian investasi

Rincian Investasi Awal PLTMH				
Rincian Pembiayaan	Harga Satuan	Satuan	Jumlah	Total
Pekerjaan bangunan sipil	Rp 140.169.935,69	set	1	Rp 140.169.935,69
Turbin Micro Hydro Cross Flow + Generator+ ELC (Complete)	Rp 15.000.000,00	kW	100	Rp 1.500.000.000,00
Pipa Pesat + Gate	Rp 4.500.000,00	Meter	52	Rp 234.000.000,00
Electric Motor TECO 1 HP (gate)	Rp 2.336.999,00	set	1	Rp 2.336.999,00
Biaya pengiriman	Rp 5.000.000,00	Kali	1	Rp 5.000.000,00
Biaya pemasangan turbin dan generator	Rp 20.000.000,00	Set	1	Rp 20.000.000,00
Biaya instalasi jaringan listrik	Rp 18.732.000,00	Kubikal	1	Rp 18.732.000,00
Trafo Distribusi 20 kV	Rp 75.000.000,00	set	1	Rp 75.000.000,00
Biaya Lain-Lain	Rp 5.000.000,00	set	1	Rp 5.000.000,00
PPN	Rp 2.000.238.934,69	%	10	Rp 200.023.893,47
Total				Rp 2.200.262.828,16

Rincian Investasi Awal PLTMH dengan Kontrol Baru				
Rincian Pembiayaan	Harga Satuan	Satuan	Jumlah	Total
Pekerjaan bangunan sipil	Rp 140.169.935,69	set	1	Rp 140.169.935,69
Turbin Micro Hydro Cross Flow + Generator	Rp 13.500.000,00	kW	100	Rp 1.350.000.000,00
ELC ANFIS + Baterai	Rp 6.196.636,00	Set	1	Rp 6.196.636,00
Pipa Pesat	Rp 4.500.000,00	Meter	52	Rp 234.000.000,00
Biaya pengiriman	Rp 5.000.000,00	Kali	1	Rp 5.000.000,00
Biaya pemasangan turbin dan generator	Rp 2.000.000,00	Set	1	Rp 2.000.000,00
Biaya instalasi jaringan listrik	Rp 18.732.000,00	Kubikal	1	Rp 18.732.000,00
Trafo Distribusi 20 kV	Rp 75.000.000,00	set	1	Rp 75.000.000,00
Biaya Lain-Lain	Rp 5.000.000,00	set	1	Rp 5.000.000,00
PPN	Rp 1.836.098.571,69	%	10	Rp 183.609.857,17
Total				Rp 2.019.708.428,86

Lampiran 12 Rincian biaya operasional dan pemeliharaan PLTMH Sengkaling 1

Rincian Biaya Operasional dan Pemeliharaan PLTMH Sengkaling 1 (2007)				
Rincian Pembiayaan	Rate	Satuan	Jumlah	Biaya
Operasional				
Operator Tetap (shift)	Rp 1.205.100,00	Orang	2	Rp 2.410.200,00
Operator Perjanjian Khusus (shift) 2 Orang 24 hari per bulan	Rp 40.000,00	Jam	48	Rp 1.920.000,00
Keamanan & Kebersihan	Rp 500.000,00	Orang	2	Rp 1.000.000,00
Pelumas	Rp 35.000,00	Liter	15	Rp 525.000,00
Biaya cadangan jika terjadi kerusakan mendadak	Rp 500.000,00		1	Rp 500.000,00
Total Per Bulan				Rp 6.355.200,00
Total per Tahun				Rp 76.262.400,00
Pemeliharaan				
Rincian Pembiayaan	Periode	Periode	Biaya	
Grease bearing	Rp 1.000.000,00	1 Bulan	Rp	12.000.000,00
Pengurusan Sedimen	Rp 2.500.000,00	3 Bulan	Rp	10.000.000,00
Pemeliharaan Jaringan Distribusi	Rp 1.200.000,00	1 Tahun	Rp	1.200.000,00
Pemeliharaan bangunan sipil rumah pembangkit	Rp 1.080.000,00	1 Tahun	Rp	1.080.000,00
Pemeliharaan Turbin dan Pipa pesat	Rp 2.000.000,00	3 Bulan	Rp	8.000.000,00
Total per Tahun				Rp 108.542.400,00
Overhoule				
Turbin Micro Hydro Cross Flow + Generator+ ELC (Complete)	10 Tahun		Rp	50.000.000,00
Penggantian Generator			Rp	82.116.970,00
Pipa Pesat + Gate			Rp	4.500.000,00
Electric Motor TECO 1 HP (gate)			Rp	2.336.999,00
Dummy Load			Rp	1.880.000,00
Biaya Teknisi			Rp	20.000.000,00
Total				Rp 160.833.969,00

Sumber : Data operasional dan pemeliharaan PLTMH Sengkaling 1 per Tahun 2007

Rincian Biaya Operasional dan Pemeliharaan PLTMH dengan Kontrol Baterai				
Rincian Pembiayaan	Rate	Satuan	Jumlah	Biaya
Operasional				
Operator Tetap (shift)	Rp 1.205.100,00	Orang	2	Rp 2.410.200,00
Operator Perjanjian Khusus (shift) 2 Orang 24 hari per bulan	Rp 40.000,00	Jam	48	Rp 1.920.000,00
Keamanan & Kebersihan	Rp 500.000,00	Orang	2	Rp 1.000.000,00
Pelumas	Rp 35.000,00	Liter	15	Rp 525.000,00
Biaya cadangan jika terjadi kerusakan mendadak	Rp 500.000,00	Kali	1	Rp 500.000,00
Total Per Bulan				Rp 6.355.200,00
Total per Tahun				Rp 76.262.400,00
Pemeliharaan				
Rincian Pembiayaan	Periode	Periode	Biaya	
Grease bearing	Rp 1.000.000,00	1 Bulan	Rp 12.000.000,00	
Pengurusan Sedimen	Rp 2.500.000,00	3 Bulan	Rp 10.000.000,00	
Pemeliharaan Jaringan Distribusi	Rp 1.200.000,00	1 Tahun	Rp 1.200.000,00	
Pemeliharaan bangunan sipil rumah pembangkit	Rp 1.080.000,00	1 Tahun	Rp 1.080.000,00	
Pemeliharaan Turbin dan Pipa pesat	Rp 2.000.000,00	3 Bulan	Rp 8.000.000,00	
Total per Tahun				Rp 108.542.400,00
Overhoule				
Turbin Micro Hydro Cross Flow + Generator+ ELC (Complete)	10 Tahun			Rp 50.000.000,00
Penggantian Generator				Rp 82.116.970,00
Pipa Pesat + Gate				Rp 4.500.000,00
Penggantian Baterai Lifepo4				Rp 4.500.000,00
Biaya Teknisi				Rp 20.000.000,00
Total				Rp 161.116.970,00

Lampiran 13 Rincian harga kontrol baru dan pipa pesat

Rincian Harga Kontrol Baru				
Rincian Pembiayaan	Harga Satuan	Satuan	Jumlah	Total
Arduino Mega 2560 R3	Rp 250.000,00	Set	1	Rp 250.000,00
Arduino Uno	Rp 50.000,00	Set	1	Rp 50.000,00
<i>three phase control rectifier</i>	Rp 105.000,00	Set	1	Rp 105.000,00
Bridge Rectifier	Rp 96.000,00	Set	2	Rp 192.000,00
Sensor Kecepatan	Rp 7.900,00	Set	1	Rp 7.900,00
Sensor Arus	Rp 18.000,00	Set	1	Rp 18.000,00
Sensor Tegangan	Rp 14.500,00	Set	1	Rp 14.500,00
Module Komparator Histeresis	Rp 34.236,00	set	1	Rp 34.236,00
Baterai Lifepo4	Rp 2.250.000,00	Set	2	Rp 4.500.000,00
Rangkaian LPF Orde 2	Rp 25.000,00	set	1	Rp 25.000,00
Relay, MCB, Kabel Kontrol	Rp 1.000.000,00	Set	1	Rp 1.000.000,00
Total				Rp 6.196.636,00

Harga per meter pipa pesat

Diameter Rencana (m)	Diameter Pakai (m)	Tebal (m)	Harga Per Meter (IDR)
0,227	0,3	0,0031	1.027.300
0,454	0,6	0,0018	3.610.900
0,557	0,6	0,0027	3.610.900
0,747	0,8	0,0024	4.885.200
0,893	1	0,0036	6.034.400
0,916	1	0,0035	6.034.400

Sumber : [Microsoft Word - 7. 541 \(researchgate.net\)](#)

Lampiran 14 Harga satuan generator PLTMH

Atribut kunci

Spesifikasi industri inti

Tegangan	230/400
Dinilai saat ini	180-288A
Frekuensi	50HZ/60HZ

Atribut lainnya

Garansi	1 year
Tempat asal	China
Nama merek	Stamford
Nomor model	UC274ES,UCI274F,UCI274G,UCI274H
Kecepatan	1500rpm/1800rpm
Berat	400kg
Insulation	Class H
Protection	IP23
Power factor	0.8
Phase	single Phase/3 Phase
Voltage	400
Certificate	ISO9001, CE
Warranty	1 year or 1000 hours
Product Name	stamford alternator
Frequency	50HZ/60HZ



Pengemasan dan pengiriman

Rincian Kemasan	Film plastik sebagai pacakge standar untuk set generator 
Pelabuhan	Xiamen port
jual Unit:	item tunggal
ukuran paket tunggal:	150X75X90 cm
tunggal berat kotor:	400.000 kg

Kemampuan pasokan

Kemampuan pasokan	1000 Set/set per Month
-------------------	------------------------

[Tampilkan lebih sedikit](#) ^

Waktu tunggu

Kuantitas (Set)	1 - 100	> 100
Estimasi Waktu (hari)	30	Untuk Dinegosiasikan

Sampel

Kuantitas pesanan maksimum: 1 Set

Harga sampel: **Rp 82.116.970/Set**

Sumber : [Daftar Harga Alternator Kenapa Rpm Rendah 220v-400v 50hz 102000w - Buy Stamford Alternator Price List,Alternator 220v-400v 50hz 102000w,Low Rpm Stamford Alternator 220v-400v 50hz Product on Alibaba.com](#)

Lampiran 15 Harga paket PLTMH



PROTEL_MULTI_ENERGY

Online 1 jam lalu • Kota Cimahi

1
Produk terjual

± 16 jam
Balas chat & diskusi

Buka 24 jam
Jam operasi toko

Follow

Chat Penjual

Produk

Ulasan

Etalase Toko (8)

Semua Produk

Produk Terjual

Preorder

Piko Hidro

Mikro Hidro

Kontrol Turbin

Turbin Pelton

Crossflow

Urutkan

Harga Tertinggi



Semua Produk



PreOrder

Turbin Mikro Hidro Komplit
5 kw

Rp85.000.000

...



PreOrder

Piko Hidro 3-10 kW best
seller

Rp75.000.000

...



PreOrder

Turbin Mikro Hidro Cross
flow / Micro hydro

Rp15.000.000

...



PreOrder

Turbin Mikro Hidro Pelton

Rp15.000.000

...



PreOrder

Electronic Load Controller
(ELC)

Rp1.400.000

...

Lampiran 16 Harga komponen kontrol baru



Arduino Mega 2560 R3 + ESP8266 WiFi + Micro USB Cable | IoT - CH340G
 Terjual 250+ • 4.9 (80 rating) • Diskusi (6)

Rp250.000

Pilih ukuran: CH340G

CH340G

Detail Info Penting

Kondisi: Baru
 Min. Pemesanan: 1 Buah
 Etalase: **Com o Microcontroller**

- Deskripsi Produk:
- Full integration on one board: Mega R3 ATmega2560 and WiFi ESP8266 with memory 32Mb (megabyte)
 - All of the modules can work together or each separately. And everyone has their own pinout headers.
 - The convenient solution for the development of new projects requiring Uno and WiFi
 - Via USB you can update sketches and firmware for ATmega2560 and for ESP8266. For this on board have the USB-serial converter CH340G.
 - Use this board is very simple
 - The board has DIP-switch, to connect the modules
 - For example, to: USB and ATmega2560, USB and ESP8266, ATmega2560 and ESP8266

Other Arduino Product Category:
 link: <https://www.tokopedia.com/supreme/etalase/com-o-arduino>
 Lihat Lebih Sedikit



Speed Sensor Kecepatan Counter Hitung Opto Interupter Arduino Coupler
 Terjual 60+ • 4.9 (12 rating) • Diskusi (3)

Rp7.900

Detail Info Penting

Kondisi: Baru
 Min. Pemesanan: 1 Buah
 Etalase: **Modul Sensor**

Speed Sensor Module Counter Module Motor Test Module Slotted Optocoupler Module

Sensor kecepatan yang banyak digunakan pada pendeteksi kecepatan motor, RPM, pengukur putaran, Tachometer, pembatas kecepatan dll.

Ini adalah jenis sensor celah opto-coupler yang akan menghasilkan sinyal output High TTL ketika sebuah objek terdeteksi pada celah.



Sensor Arus ACS712 5A Ac Dc Hall Current ACS 712 Module For Arduino
 Terjual 15 • 5 (1 rating)

Rp18.000

Detail Info Penting

Kondisi: Baru
 Min. Pemesanan: 1 Buah
 Etalase: **Sensor and Transducer**

Deskripsi Produk:
 Current Sensor Chip: ACS712ELC-05B;
 5V power supply with on-board power indicator;
 Range for this module is 5A, corresponding to the analog output 185mV / A;
 No test current, the output voltage is VCC / 2;



Sensor Tegangan Voltage Module DC 0-25v for arduino
 Terjual 3 • 5 (1 rating) • Diskusi (1)

Rp14.500

Detail Info Penting

Kondisi: Baru
 Min. Pemesanan: 1 Buah
 Etalase: **MODUL MODUL**

DR ELEKTRONIK DEPOK
 Online
 4.9 rata-rata ulasan • 6 jam pesanan proses

Pengiriman

Dikirim dari Kota Depok
 Ongkir Reguler 8 rb - 10 rb
 Estimasi tiba 27 - 30 Apr



Rp34,236 ~~Rp62,237~~
 Ekstra Diskon 3%

5V Histeresis Modul Komparator Beralih Dual Output Jitter Kompi:

★★★★★ 5.0 3 Ulasan | 11 solc



Bridge Rectifier 3 Tiga Dioda Fase Phase 50A Amp 1200V Aluminium - 50A 1200V
 Terjual 100+ • 4.9 (61 rating) • Diskusi (5)

Rp96.000

Pilih ukuran: 50A 1200V

50A 1200V 50A 1000V

Detail Info Penting

Kondisi: Baru
 Min. Pemesanan: 1 Buah
 Etalase: **Electronic Module**

1Pcs 50A 1200V Aluminium Metal Case 3 Tiga Fasa Dioda Jembatan Penyearah 50Amp 2.4*1.4*1.6inch Bridge Rectifier



Arduino Uno R3 Original + USB Cable - Arduino SM
 Terjual 100+ • 4.9 (32 rating) • Diskusi (2)

Rp50.000

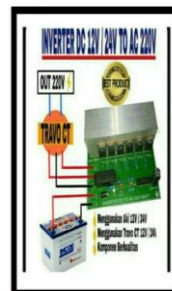
Pilih warna: Arduino SMD

Arduino DIP Arduino SMD

Detail Spesifikasi

Kondisi: Baru
 Min. Pemesanan: 1 Buah
 Etalase: **Semua Etalase**

Deskripsi:
 Arduino Uno R3 Versi SMD dan Versi DIP yang menggunakan chip Atmel ATmega. Produk ini sudah di test dan berfungsi dengan baik.



TERBARU Kit Inverter DC 12V/24V to AC 220V

Rp105.000

Detail

Kondisi: Baru
 Min. Pemesanan: 1 Buah
 Etalase: **Semua Etalase**

harga membawa kualitas

Kit Inverter DC 12V/24V to AC 220v

- * tegangan Input bisa memakai Aki 12V / 24V
- * Perlu tambahan travo CT 12V untuk aki 12V
- * Perlu tambahan travo CT 24V untuk aki 24V
- * Komponen berkualitas

NB : sbml beli konfirmasi untuk ketersediaan stok barang

Lampiran 17 Harga satuan baterai lithium



Battery lifepo4 24V 100AH dengan BMS 100A - tanpa BMS

Terjual 25 • ★ 4.9 (19 rating) • Diskusi (3)

Rp2.250.000

Pilih kelengkapan: Tanpa BMS

tanpa BMS

Plus BMS

Detail

Kondisi: Bekas

Min. Pemesanan: 1 Buah

Etalase: **BATTERY**

Battery lifepo4 ex huawei produksi 2023

include BMS 100A

Lampiran 18 Rincian paket PLTMH

Turbin Mikro Hidro Cross flow / Micro hydro

Detail Produk

Ulasan

Diskusi

Rekomendasi



HARGA ESTIMASI PER KW KOMPLIT!

Turbin Mikro Hidro Turbin Crossflow D235 daya s.d 100 kW. Cocok untuk listrik satu kampung atau kecamatan. Daya 30kW dapat menerangi s.d 250 rumah. Unit sangat kompak mudah dalam pemasangan dan operasional. Listrik yang dihasilkan standard PLN dan stabil dilengkapi sistem kontrol otomatis yang menjaga tegangan dan frekuensi stabil tanpa harus buka tutup turbin. Listrik murah biaya operasional dan perawatan hampir NOL.

Spesifikasi :

1. Tipe turbin : Crossflow, runner dia. 235mm, lebar 100-1200 mm
2. Head : 5-50 m
3. Debit : 40-1000 ltr/dtk
4. Generator : Sinkron Brushless AVR, 3P,230/400V,50Hz,1500rpm
5. Control : Electronic Load Control (ELC) + ballast load
6. Pipa : 10 - 24 inch (tergantung debit dan head)
7. Berat : +-450kg

Paket komplit tinggal pasang ke pipa dan sambung ke kabel jaringan (plug and play).

paket komplit terdiri dari :

1. Turbin dan aksesoris (baseframe, adaptor pipa)
2. Transmisi mekanik (puley,belt/coupling dan pengaman)
3. Generator dan baseframe/landasan
4. Kontrol panel ELC, Ballast load dan kabel2 sambungan

Ongkos kirim disesuaikan Lokasi (luar jawa 2-5jtn).

Unit dibuat sesuai dengan data lokasi, jadi tidak ready stok karena setiap lokasi pasti berbeda.

waktu pembuatan kurang lebih 30 hari.

Untuk tanya tanya mohon sampaikan data HEAD dan DEBIT lokasi. kunjungi website pme-

bandung.com untuk info lebih jelas. hubungi atau wa di nol8139 555 6300

HARGA PAKET KOMPLIT BERKISAR 10-15jtKW

Produk Kami STANDARD International. sudah diekspor dan beroperasi di lebih dari 30 Negara Seluruh Dunia.

Lampiran 19 Harga satuan motor TECO



TECO 1 HP 0,75 KW 3 Phase 4 Pole B3 Elektro Motor/dinamo/Motor Induksi

2 orang menyukai barang ini

Rp2.336.999

[Detail](#)

[Info Penting](#)

Kondisi: **Baru**

Min. Pemesanan: **1 Buah**

Etalase: **2 ELECTRIC MOTOR INDUKSI 3PHASE 380V**

Merek : **TECO**

TYPE : **AESV1S - 80M-4**

POWER : **1hp / 0.75kw / 1pk**

RPM : **1425 (4POLE / 4P)**

VOLT : **220/380V / 3PHASE**

MODEL : **FOOT MOUNTED (B3)**

DIAMETER AS : **19mm**

GULUNGAN : **TEMBAGA...**

Lampiran 20 Kontrol PLTMH sengkaling 1



Lampiran 21 Dummy (ballast) udara dan air

Lampiran 22 Tampilan keseluruhan sistem PLTMH sengkaling 1



Lampiran 23 Proses aliran air dari sungai brantas

Terimakasih

